

# 快速凝固 Cu-Cr-Zr-Mg 合金的 时效析出与再结晶<sup>①</sup>

刘 平<sup>†, ‡</sup> 康布熙<sup>‡</sup> 曹兴国<sup>‡</sup> 黄金亮<sup>‡</sup> 殷 标<sup>‡</sup> 顾海澄<sup>†</sup>

<sup>†</sup>(西安交通大学材料科学与工程学院, 西安 710049)      <sup>‡</sup>(洛阳工学院材料系, 洛阳 471039)

**摘要** 对快速凝固 Cu-0.6Cr-0.15Zr-0.05Mg 合金伴随时效析出的再结晶过程进行了观察和研究。发现该合金在形变后的时效过程中, 析出相非常细小、弥散, 阻碍了再结晶的进行, 出现了原位再结晶与不连续再结晶同时发生的现象。在再结晶的形核和长大过程中, 析出相在晶界前沿快速粗化或重新溶解, 并在再结晶区域中重新析出, 导致更加弥散的析出相分布。

**关键词** 快速凝固 Cu-Cr-Zr-Mg 合金 时效析出 再结晶

**中图法分类号** TG146.11

Cu-Cr-Zr-Mg 合金因具有良好的导热导电性和较高的强度, 在电阻焊电极、电机整流子、集成电路引线框架等方面得到广泛使用。但采用常规冶金方法生产的 Cu-Cr-Zr-Mg 合金, 因 Cr 和 Zr 原子在 Cu 中的固溶度有限, 限制了时效过程中的析出强化效果<sup>[1-3]</sup>, 阻碍了性能的进一步提高。

采用旋转急冷的方法制备 Cu-Cr-Zr-Mg 合金, 在使合金晶粒细化的同时, 也使 Cr 和 Zr 原子在 Cu 中的固溶度扩大, 产生极强的弥散强化效果<sup>[4-6]</sup>, 可在保持高的导电率的前提下(导电率>80% (IACS)), 显著提高合金的硬度(HV 值大于 200), 为一种获得高强度高导电铜合金的有效方法。

过饱和固溶体在形变后的时效过程中, 其时效析出伴随着回复和再结晶过程, 它们之间的交互作用, 必然会对时效的组织和性能产生影响。70年代以来, 对钢、镍基合金和铝合金再结晶与析出相的交互作用做了较多研究<sup>[7, 8]</sup>, 而对铜合金的研究甚少。快速凝固 Cu 合金由于具有高的过饱和度, 大量的空位以及

细小的晶粒; 在其形变后的时效过程中, 析出行为对再结晶过程的影响与常规 Cu 合金大不相同。本文研究了快速凝固 Cu-Cr-Zr-Mg 合金再结晶与时效析出的交互作用, 并从热力学上进行了分析。

## 1 实验方法

将 Cu-0.6Cr-0.15Zr-0.5Mg 合金 20 g 放入喷嘴直径为 0.6 mm 的石英管中, 经高频加热熔化, 在一定压力的氩气作用下喷射到转速为 3 000 r/min 的铜辊上。得到厚 30~60 μm、宽 2 mm 的无氧化微晶薄带。时效处理在氮气保护的管式电阻炉中进行, 温度偏差 ±5 °C。形变在自制小型薄带冷轧机上进行。

电阻测量在 QJ42 型双臂电桥上进行, 测量长度为 50 mm, 测量误差 ±0.0002 Ω。显微硬度测量在国产 71 型显微硬度计上进行, 试样载荷为 25 g, 每个试样的测量次数不少于 5 次, 测量误差 ±5%。

① 国家自然科学基金资助项目 59671043 收稿日期: 1998-08-30; 修回日期: 1998-11-22

刘 平, 男, 36岁, 副教授, 博士研究生

扫描电镜分析在 TSM-I 型扫描电镜上进行, 试样经过机械抛光、化学抛光(抛光液  $\text{HNO}_3 : \text{HCl} : \text{H}_3\text{PO}_4 : \text{CH}_3\text{COOH} = 3 : 1 : 1 : 5$ ) 后浸蚀。透射电镜分析在日产 H-800 型透射电镜上进行, 试样经双喷减薄。电解液为  $\text{H}_3\text{PO}_4 : \text{H}_2\text{O} = 7 : 3$ , 电解抛光参数为电压 2 V, 电流 40 mA。表 1 为采用常规冶金方法生产的二种 Cu-Cr-Zr-Mg 合金的性能指标。

## 2 实验结果与分析

快速凝固 Cu-Cr-Zr-Mg 合金由于具有高的过饱和度和大量的晶体缺陷, 在形变后的时效过程中, 首先发生析出过程, 这可以从对时效析出非常敏感的电阻实验结果中得到证实。图 1 为快速凝固 Cu-Cr-Zr-Mg 合金形变 40% 后, 在不同温度时效的电阻率随时间的变化曲线。可见, 在低于该合金再结晶温度的 300 ℃ 和 400 ℃ 时效时, 电阻率在时效初期变化较快, 随后趋缓, 这主要是因过饱和固溶体的脱溶所造成的。固溶体的脱溶需要溶质原子的扩散, 而溶质原子的扩散是借助空位的运动实现的。快速凝固所产生的高浓度空位在时效初期运动很快, 其衰减一般要按式(1) 进行<sup>[3]</sup>。

$$N = N_0 e^{-ant} \quad (1)$$

式中  $N$  是退火  $t$  时间后晶体中尚存在的空位数,  $n$  是空位的阱数, 在时效过程中  $n$  不变。对一定时效温度  $a$  是常数, 在等温时效时  $a, n$  都是常数,  $N$  是过饱和空位数。可见空位的衰变符合指数关系, 这与不同温度下电阻率随时间的变化规律是一致的。随着时效时间的延长, 过饱和固溶体的空位数减少, 脱溶速度也

逐渐减慢。图 2 和图 3 为形变 40% 的合金在 450 ℃ 时效 3 h 后, 析出相和位错组态的电镜

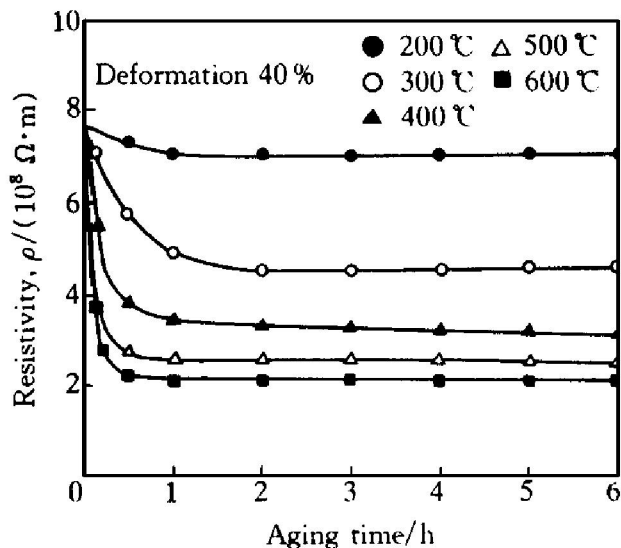


图 1 快速凝固 Cu-Cr-Zr-Mg 合金形变 40% 后电阻率与时效时间的关系

Fig. 1 Relation of resistance with aging time for 40% deformed ribbon

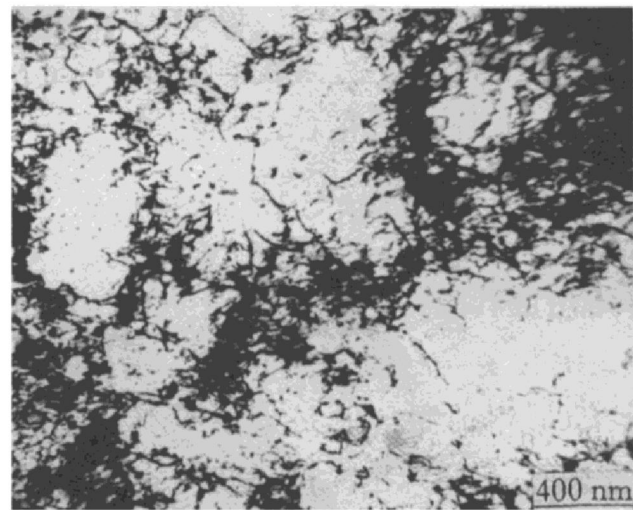


图 2 Cu-Cr-Zr-Mg 合金形变 40% 及 450 ℃ 时效 3 h 后的位错组态

Fig. 2 Dislocation morphology in 40% deformed ribbon after aging at 450 °C for 3 h

表 1 常规冶金方法生产 Cu-Cr-Zr-Mg 合金的性能指标

Table 1 Properties of Cu-Cr-Zr-Mg alloy produced by CSHT\*

Composition	Electrical conductivity / % (IACS)	Tensile strength / MPa	Microhardness HV	Recrystallization temperature / °C
Cu 0.30Cr 0.24Zr 0.05Mg	88	460	150	470
Cu 0.40Cr 0.26Zr 0.05Mg	83	480	162	480

\* Quenching at 950 °C, deformation 60%, aging at 460~470 °C for 4 h

组织像。可见, 组织中没有再结晶发生, 晶粒内部的位错缠结严重, 晶内析出相为球状, 且分布均匀, 经标定为 Fe<sub>3</sub>Al 型的 Hesuler 相 CrCu<sub>2</sub>(ZrMg)。衍射谱如图 4 所示, 晶界上尺寸较大的析出相为 Cu<sub>4</sub>Zr, 它与基体没有确定的位向关系。图 5 为其衍射斑点。这些析出相的存在必然对随后的再结晶过程产生一定影响。

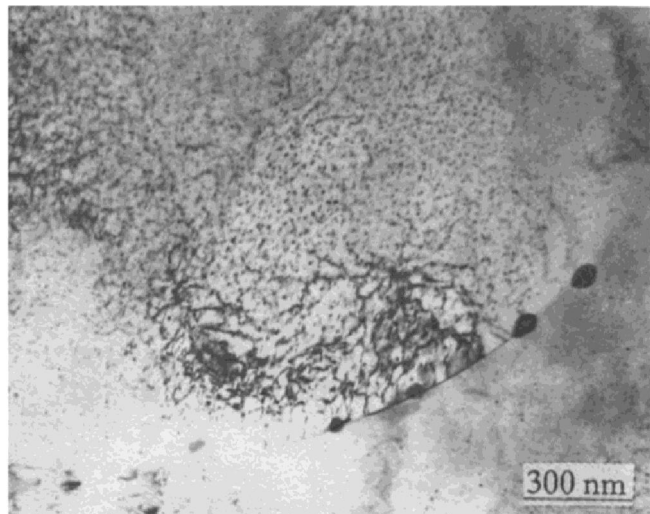


图 3 Cu-Cr-Zr-Mg 合金形变 40% 后  
450 °C时效 3 h 的析出相

**Fig. 3** Precipitates in 40% deformed  
ribbon after aging at 450 °C for 3 h

图 6 为不同温度时效后, 显微硬度随时间的变化曲线, 图中可见, 在 300~500 °C 温度范围时效, 温度越高, 显微硬度峰值也越高。对达到峰值硬度时的试样显微组织观察发现, 500 °C 时效 30 min 时已发现再结晶晶粒, 如图 7 所示。对这种再结晶晶粒的仔细观察发现, 它是由于大量细小析出相在位错及亚晶界上优先析出, 使得位错的重排及亚晶界的运动受到阻碍, 随着较大颗粒析出相的粗化和较小颗粒的溶解, 以及通过位错的重排和界耦的运动, 最终形成再结晶组织, 也即发生了原位再结晶。进一步观察发现, 在部分已再结晶的区域内析出相很少甚至观察不到, 而在相邻的未再结晶晶粒内则有明显的析出相, 这说明在再结晶晶核的形成及长大过程中, 晶界的迁移可使得晶界前沿的析出相溶解, 即有不连续再结晶。如图 8 所示。这种由于大角晶界的迁移而

造成析出相重溶的现象, 使得已再结晶区域内溶质原子重新过饱和, 随后的析出已不同于冷变形情况下的时效析出。因为在冷变形情况下, 时效析出的择优性较大, 而已再结晶区域内位错密度已经很低, 仅有再结晶过程形成的一定量的空位, 且这些空位的分布非常均匀, 因而析出相的分布很弥散, 导致已发生再结晶的组织仍具有很高的硬度。

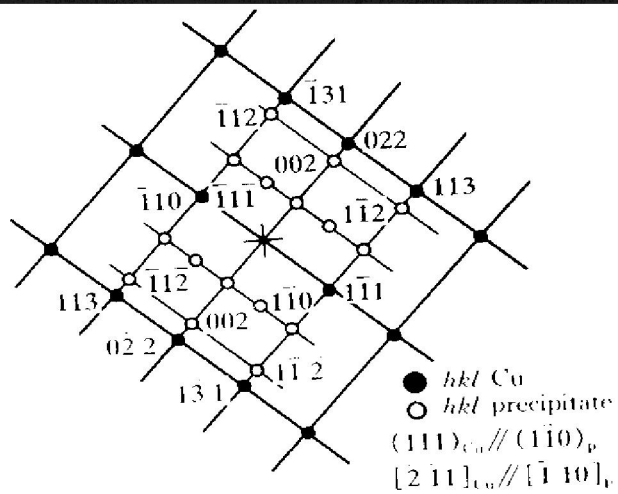


图 4 晶内析出相的衍射斑点

**Fig. 4** SAED pattern of precipitates  
inside gains

### 3 讨论

上述实验结果表明, 快速凝固 Cu-Cr-Zr-Mg 合金在形变后的时效过程中, 再结晶可通过原位再结晶和不连续再结晶两种方式进行。在再结晶形核和长大过程中, 析出相可能在迁移的晶界前沿被溶解或粗化, 其原因可以从热

力学上进行分析。再结晶初期，择优形成了再结晶核心，这些核心基本上不存在应变，它们能通过大角晶界迁移向形变的基体区长大以使应变能降低，再结晶的驱动力  $F_N$  可表达为<sup>[10]</sup>



图 5 晶界析出相的衍射斑点

**Fig. 5** SAED pattern of precipitates at grain boundary

$$F_N = aGb^2(\rho_0 - \rho_1) \quad (2)$$

式中  $a$  为常数， $G$  为切变弹性模量， $b$  是柏氏矢量的模， $\rho_0$  和  $\rho_1$  分别是变形和再结晶后的位错密度。

析出相颗粒导致单位面积晶界迁移制动力为 Zener 力<sup>[11]</sup>

$$F_v = 3f \gamma_b / D \quad (3)$$

式中  $f$  是颗粒的体积分数， $\gamma_b$  是界面能， $D$  是析出相颗粒的直径。

若  $F_N = F_v$ ，则析出相的临界尺寸为

$$D_{Cr} = 3f \gamma_b / aGb^2(\rho_0 - \rho_1) \quad (4)$$

因此当  $f$  一定时，若  $D < D_{Cr}$  则  $F_v > F_N$ ，即制动力大于驱动力，晶界迁移受阻，晶界迁移须通过这些颗粒的溶解才能实现，也就是说， $D < D_{Cr}$  的颗粒都应在再结晶前沿溶解，但析出相重溶将导致系统自由能增大而阻碍晶界迁移，此时颗粒对晶界的制动力为化学力  $F_c^{[12]}$ ，

$$F_c = \frac{2\pi}{3V_a} \Delta Gr^2 - 2\pi \gamma' r \quad (5)$$

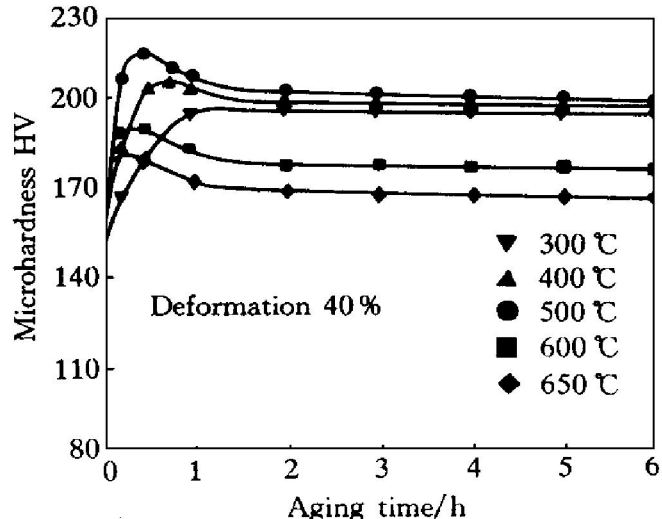


图 6 Cu-Cr-Zr-Mg 合金形变 40% 后显微硬度与时效时间的关系

**Fig. 6** Relation of microhardness with aging time for 40% deformed ribbon

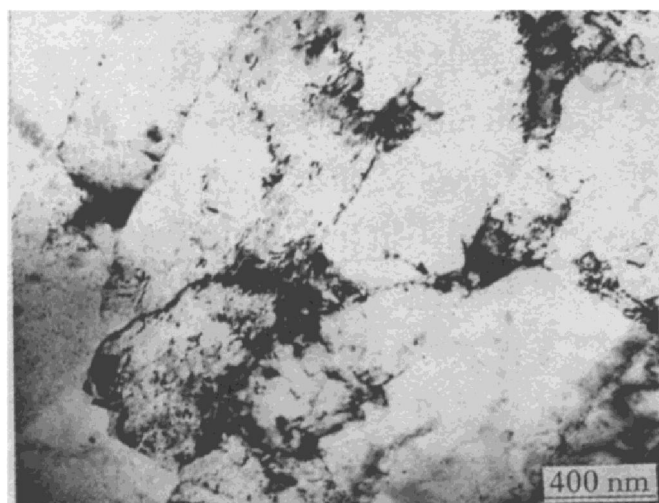


图 7 形变 40% 后在 500 °C 时效 30 min 时出现的原位再结晶

**Fig. 7** In situ recrystallization in 40% deformed ribbon after aging at 500 °C for 30 min



图 8 快速凝固 Cu-Cr-Zr-Mg 合金形变 40% 后在 550 °C 时效 30 min 发生的不连续再结晶

**Fig. 8** Discontinuous recrystallization in 40% deformed ribbon after aging at 550 °C for 30 min

式中  $V_a$  是原子摩尔体积,  $r$  为析出相尺寸,  $\gamma'$  是共格界面能,  $\Delta G$  为自由能。

对 Cu-Cr 合金系, 设每摩尔析出相重新溶解使体系自由能升高  $\Delta G$ , 并且该合金溶质浓度很低, 可当做稀溶体考虑, 则有

$$\Delta G \approx RT \ln(C_0/C_a) \quad (6)$$

式中  $R$  为气体常数,  $T$  为绝对温度,  $C_0$  为合金成分,  $C_a$  为在时效温度  $T$  时的平衡溶解度。

将式(6)代入式(5)得

$$F_{c_0} = \frac{2}{3}\pi \cdot \frac{r^2}{V_a} RT \ln(C_0/C_a) - 2\pi \gamma' r \quad (7)$$

因此  $D < D_{Cr}$  时, 前沿析出相能否溶解还取决于  $F_c$ , 当  $F_c > F_{c_0}$  时, 析出相由于晶界迁移而重新溶解, 再结晶后的区域存在过饱和, 合金仍要发生溶质原子的偏聚及析出相的重新形核析出。而当  $F_c < F_{c_0}$  时, 颗粒既不能溶解也不能快速粗化, 从而起到对晶界的钉扎作用, 再结晶过程被抑制, 再结晶只能通过析出相的聚集和位错密度的降低及亚晶合并来进行, 即发生原位再结晶。

如果  $D > D_{Cr}$ , 则驱动力超过制动力, 晶界可以移动, 晶界扫过的区域位错密度下降,

出现不连续再结晶。当  $F_c < F_{c_0}$  时析出相颗粒不能溶解并随时效进一步粗化, 再结晶同样可以顺利进行, 最后在再结晶晶粒内部出现粗大颗粒, 如图 9 所示。当  $F_c > F_{c_0}$  时, 析出相既可以粗化也可以溶解。

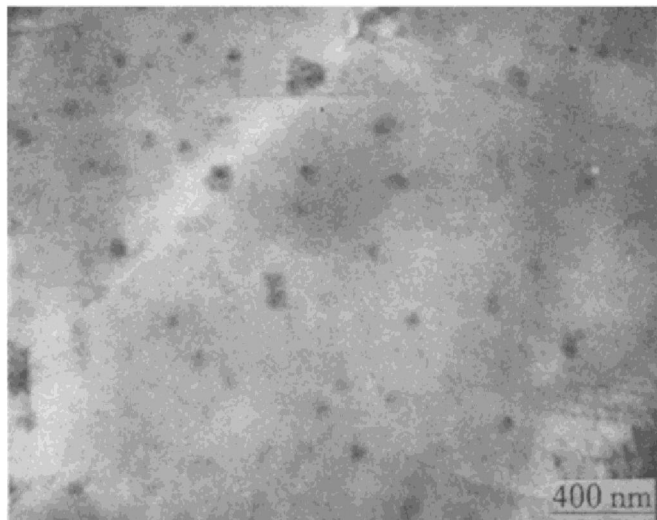


图 9 再结晶晶粒内出现的粗大析出相颗粒

**Fig. 9** Coarsened precipitates inside recrystallization grains

进一步分析表明, 当变形量一定时, 基体和再结晶晶粒内的位错密度  $\rho_0$ ,  $\rho$  基本不变; 而  $\gamma_b$ ,  $a$ ,  $G$ ,  $b$  都是定值。所以  $D_{Cr} \propto f$ , 也就是说随着析出相体积分数的增大, 再结晶前沿处发生溶解的析出相临界尺寸增加。在时效过程中, 析出相的体积分数逐渐增加, 因而随着再结晶晶核向变形基体长大, 再结晶前沿处应溶解的析出相颗粒愈来愈大, 导致  $F_c$  值增加, 这就是析出相对再结晶的抑制作用。

## 4 结论

(1) 快速凝固 Cu-Cr-Zr-Mg 合金在形变后的时效过程中, 于再结晶发生之前已有析出相出现, 这种析出相对随后的再结晶过程有阻碍作用。

(2) 由于析出相细小, 分布弥散, 阻碍了正常再结晶过程的进行, 出现了原位再结晶和不连续再结晶同时发生的现象。

(3) 在再结晶的形成和长大过程中, 迁移

晶界前沿的析出相重新溶解，使得再结晶区域过饱和。这些过饱和的溶质原子在空位处更加弥散析出，导致更强的弥散强化效果。

## REFERENCES

- 1 Morris M A and Morris D G. *Acta Metall*, 1987, 35(10): 2511–2522.
- 2 Szablewski J and Kuznicka B. *Materials Science and Technology*, 1991, 7: 407.
- 3 Tang N Y, Taplin D M R and Dunlop G L. *Materials Science and Technology*, 1985, 1: 270–275.
- 4 Tenwick M J and Davies H A. *Materials Science and*

*Engineering*, 1988, 98: 543.

- 5 Arnbeg L, Backmark U and Lance J. *Materials Science and Engineering*, 1986, 83: 115.
- 6 Correia J B, Davies H A and Sellars C M. *Acta Mater*, 1997, 45(1): 177–190.
- 7 Chardar T et al. *Met Sci*, 1982, 16: 97.
- 8 Rollet A D et al. *Acta Metall*, 1989, 37: 627.
- 9 Koehler J S. *Phy Rev*, 1957, 107: 1499.
- 10 Rishi P et al. *Materials Science and Engineering*, 1991, A145: 243–255.
- 11 Doherty T et al. *Scripta Metall*, 1987, 21: 675.
- 12 Nes E and Ryum N. *Acta Metall*, 1983, 33(1): 11.

# AGING PRECIPITATION AND RECRYSTALLIZATION OF RAPIDLY SOLIDIFIED Cu-Cr-Zr-Mg ALLOY

Liu Ping<sup>†, ‡</sup>, Kang Buxi<sup>‡‡</sup>, Cao Xingguo<sup>††</sup>, Huang Jinliang<sup>††</sup>, Yin Biao<sup>††</sup> and Gu Haicheng<sup>†</sup>

<sup>†</sup> School of Materials Science and Engineering,  
Xi'an Jiaotong University, Xi'an 710049, P. R. China

<sup>‡‡</sup> Department of Materials, Luoyang Institute of  
Technology, Luoyang 471039, P. R. China

**ABSTRACT** The recrystallization process during aging for a rapidly solidified Cu-Cr-Zr-Mg alloy was investigated. It was found that the discontinuous recrystallization process has been partially retarded by the ultrafine and dispersed precipitation during aging after deformation. Thus, a phenomenon of simultaneous in situ and discontinuous recrystallizations has been observed in the rapidly solidified Cu-Cr-Zr-Mg alloy. On the formation and growth of recrystallization, the precipitated phases are coarsened and dissolved in the front of grain boundaries following a reprecipitation in the recrystallization area, which results in the much more dispersed precipitation of the phases.

**Key words** rapid solidification Cu-Cr-Zr-Mg alloy aging precipitation recrystallization

(编辑 黄劲松)